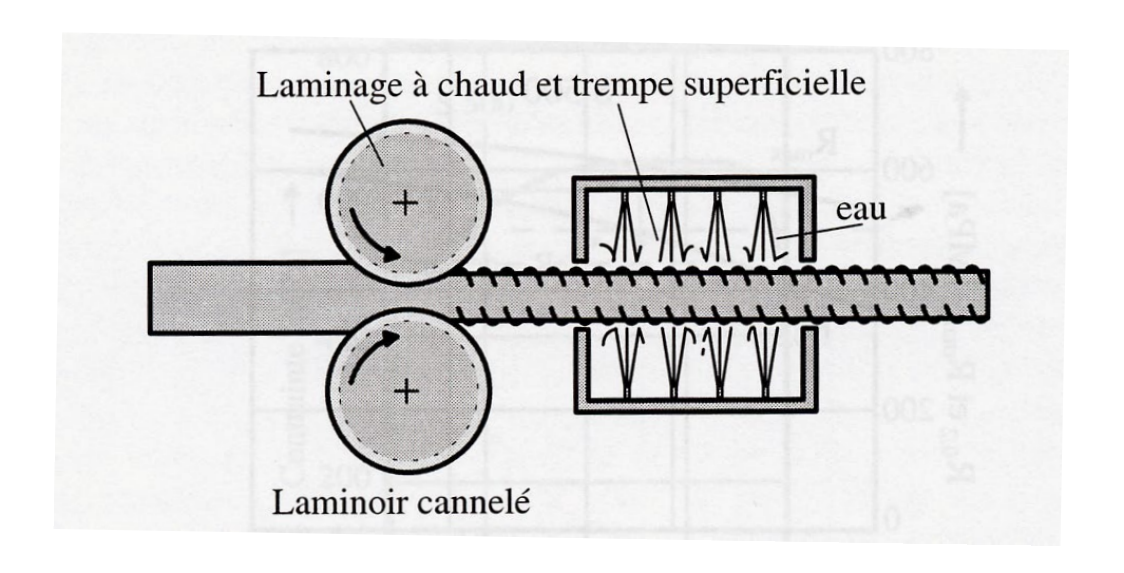
Cours 6

Problèmes de convection-diffusion 1D et 2D et éléments finis

Un exemple : champs thermique stationnaire (approche eulérienne) d'un traitement continu de durcissement surfacique d'un acier par trempe superficielle.



Soit $f: x \in [0,1] \to f(x) \in \mathbb{R}$ et $c: x \in [0,1] \to c(x) \in \mathbb{R}$ deux fonctions continues données et soit $\varepsilon > 0$ fixé. Nous cherchons une fonction $u: x \in [0,1] \to u(x) \in \mathbb{R}$ satisfaisant

$$-\varepsilon u''(x) + c(x)u'(x) = f(x) \quad \forall x \in]0, 1[,$$

$$u(0) = u(1) = 0.$$
 (14.1)

Le problème (14.1) est appelé problème de **convection-diffusion stationnaire**. Le terme de diffusion est $-\varepsilon u''(x)$ alors que le terme de convection est c(x)u'(x). La fonction c(x) est la vitesse.

Ex1: conservation du soluté de concentration c(x) stationnaire (v(x)=vitesse):

 $V(x).\nabla c + div(-D\nabla c) = 0$ avec D en m²/s (coefficient de diffusion)

Ex2: conservation de l'énergie T(x) en régime stationnaire avec terme de source:

$$\rho C_{p}V(x).\nabla T$$
 - $k \Delta T = Q_{T}$

Cas $c = c_0$ = vitesse cste et $f = f_0$ = cste : - $\varepsilon u''(x) + c_0 u'(x) = f_0$ avec u(0) = u(1) = 0. Solution particulière: u = ax donne $a = f_0/c_0$

Solution homogène: $-\varepsilon u''(x) + c_o u'(x) = 0$ donne $u'(x) = Be^{\frac{c_o}{\varepsilon}x}$, $u(x) = A + B\frac{\varepsilon}{c_o}e^{\frac{c_o}{\varepsilon}x}$

Solution générale: $u = A + B \frac{\varepsilon}{c_o} e^{\frac{c_o}{\varepsilon}x} + f_o x/c_o$

$$u(0) = A + \frac{\varepsilon}{c_o} B = 0$$
. et $u(1) = A + B \frac{\varepsilon}{c_o} e^{\frac{c_o}{\varepsilon}} + f_o/c_o = 0$.

soit B =
$$f_o / \epsilon \left(1 - e^{\frac{c_o}{\epsilon}} \right)$$
 et A = $-\frac{\epsilon}{c_o}$ B

soit
$$u(x) = \frac{f_o}{c_o} \left(x - \frac{1 - e^{\frac{c_o}{\epsilon}x}}{1 - e^{\frac{c_o}{\epsilon}}} \right)$$

$$u(x) = \frac{f_o}{c_o} \left(x - \frac{1 - e^{\frac{c_o}{\epsilon}x}}{1 - e^{\frac{c_o}{\epsilon}}} \right) = \frac{f_o}{c_o} \left(x - \frac{1 - e^{x/\delta}}{1 - e^{1/\delta}} \right) \text{ avec } \delta = \epsilon/c_0 \text{ [m]}$$

si $c_o > 0$ et $\frac{c_o}{\varepsilon}$ est très grand (convection très grande devant la diffusion),

alors
$$\delta$$
 est très petit et $u(x) = x \frac{f_o}{c_o}$ pour $x \le 1 - \delta$

u(x) redescend vers 0 en x = 1 sur une couche limite δ

Cette couche limite δ est d'autant plus fine que $\frac{c_o}{\epsilon}$ est grand

exemple pour thermique dans l'Aluminium:

$$\rho C_p V.\nabla T - k \Delta T = \dot{Q}_T \text{ avec } V = c_0 \ge 0.$$

$$- \varepsilon \Delta T + V.\nabla T = \frac{1}{\rho C_n} \dot{Q}_T$$
 avec $V = c_0$ et $\varepsilon = \frac{k}{\rho C_n}$, diffusivité thermique

Couche limite pour l'Alu: $\varepsilon = 10^{-4} \text{ m}^2/\text{s}$ si $c_0 = 1 \text{ m/s}$, $\delta = \varepsilon / c_0 = 10^{-4} \text{ m} = 100 \text{ }\mu\text{m}$ si $c_0 = 1 \text{ mm/s}$, $\delta = \varepsilon / c_0 = 10^{-1} \text{ m} = 10 \text{ cm}$

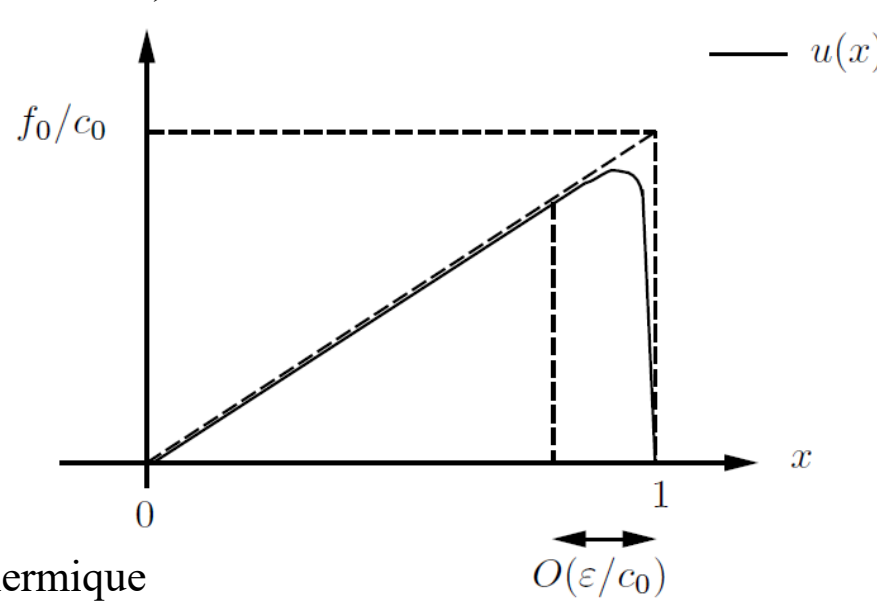
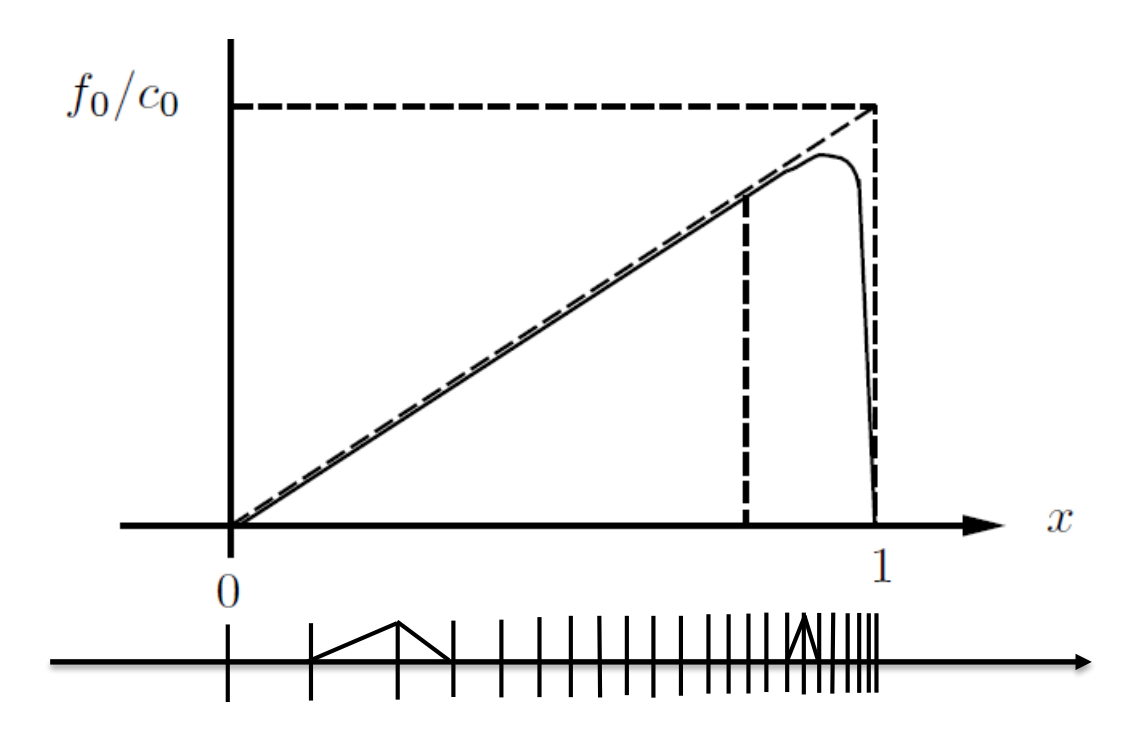


Fig. 14.1 Solution u(x) lorsque $\varepsilon \ll c_0$.

2 stratégies de résolution numérique pour "capturer" cette couche limite:

- affiner les éléments finis en approchant x = 1 (intérêt des EF comparés aux différences finies ...)
- ou utiliser des fonctions d'interpolation présentant un upwind (SUPG, streamline upwind Petrov-Galerkin, éléments dccax4 dans abaqus).



Abaqus: *ngen, bias = 1.1 (progression géométrique de raison 1.1)

Résolution numérique 1D par les éléments finis

$$-\varepsilon u''(x) + c(x)u'(x) = f(x) \qquad \forall x \in]0, 1[, u(0) = u(1) = 0.$$

Formulation faible: on multiplie par v(x) continue, de première dérivée v'(x) continue par morceaux sur [0,1] et telle que v(0)=v(1)=0. L'ensemble V de ces fonctions v est un e.v de dimension infini.

On obtient la formulation faible du problème:

Nous cherchons une fonction $u \in V$ telle que :

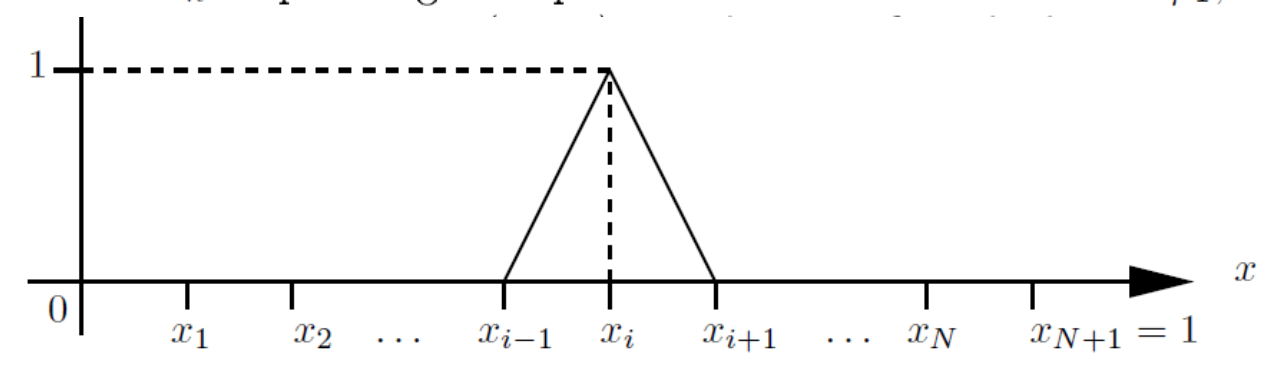
$$\varepsilon \int_0^1 u'(x)v'(x)dx + \int_0^1 c(x)u'(x)v(x)dx$$
$$= \int_0^1 f(x)v(x)dx \qquad \forall v \in V.$$

Eléments finis linéaires en 1D: fonctions chapeaux

Soit N points x_1, \ldots, x_N situés à l'intérieur de l'intervalle [0,1] tels que $x_0 = 0 < x_1 < x_2 < \ldots < x_N < 1 = x_{N+1}$. Considérons les N fonctions $\varphi_1, \ldots, \varphi_N$ définies de la façon suivante :

$$\varphi_{j}(x) = \begin{cases} \frac{x - x_{j-1}}{x_{j} - x_{j-1}} & \text{si } x_{j-1} \le x \le x_{j}, \\ \frac{x - x_{j+1}}{x_{j} - x_{j+1}} & \text{si } x_{j} \le x \le x_{j+1}, \\ 0 & \text{si } x \notin [x_{j-1}, x_{j+1}]. \end{cases}$$

Les fonctions $\varphi_1, \ldots, \varphi_N$ appartiennent à l'espace V et sont linéairement indépendantes. Soit V_h l'espace engendré par les combinaisons linéaires de $\varphi_1, \ldots, \varphi_N$.



Problèmes de convection-diffusion et éléments finis Résolution avec les éléments finis linéaires (fonctions chapeau)

On cherche $u_h \in V_h$ tel que pour tout v_h de V_h , on ait

$$\varepsilon \int_0^1 u_h'(x)v_h'(x)dx + \int_0^1 c(x)u_h'(x)v_h(x)dx$$
$$= \int_0^1 f(x)v_h(x)dx \qquad \forall v_h \in V_h.$$

Exprimons u_h comme combinaison linéaire de $\varphi_1, \ldots, \varphi_N$, c'est-à-dire

$$u_h(x) = \sum_{i=1}^{N} u_i \varphi_i(x) \qquad \forall x \in [0, 1],$$

Cela revient à chercher u₁,u₂, ...u_N tels que

$$\sum_{i=1}^{N} u_i \int_0^1 \left(\varepsilon \varphi_i'(x) \varphi_j'(x) + c(x) \varphi_i'(x) \varphi_j(x) \right) dx$$
$$= \int_0^1 f(x) \varphi_j(x) dx, \qquad j = 1, \dots, N.$$

Résolution numérique 1D avec des éléments finis linéaires:

Il faut résoudre le système $A\vec{u} = \vec{f}$ avec :

$$A_{ji} = \int_0^1 \left(\varepsilon \varphi_i'(x) \varphi_j'(x) + c(x) \varphi_i'(x) \varphi_j(x) \right) dx, \qquad i, j = 1, \dots, N,$$

$$f_j = \int_0^1 f(x)\varphi_j(x)dx, \qquad j = 1, \dots, N.$$

où $c(x) = c_0 = \text{constante}, f(x) = f_0 = \text{constante}$ et lorsque les points x_1, \ldots, x_N sont uniformément répartis (h = 1/(N+1)) et $x_j = jh$,

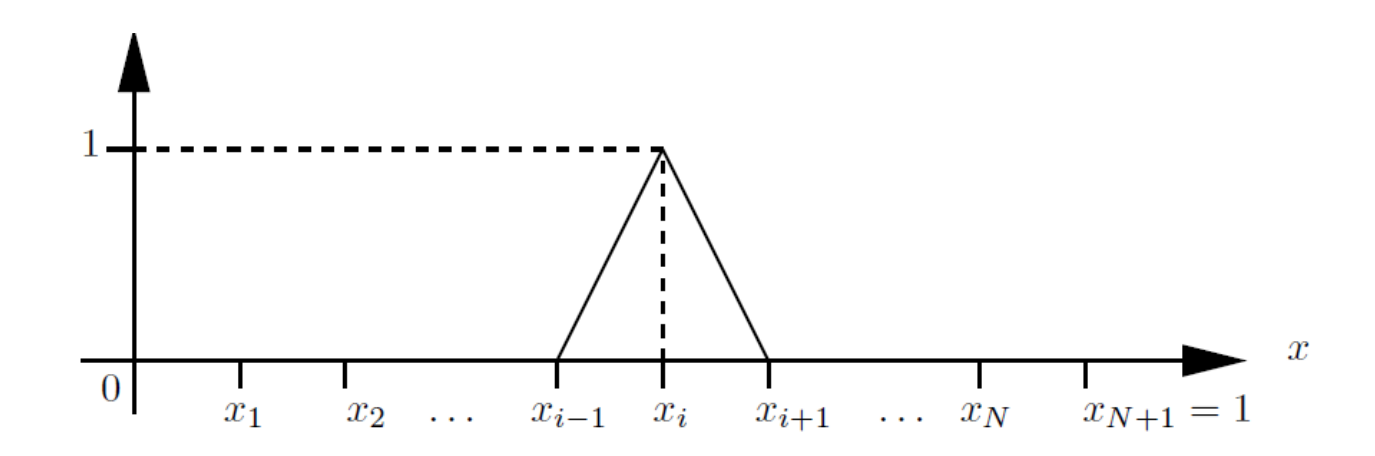
Attention: $A_{ij} \neq A_{ji}$ (sauf si c(x) = 0) !!

Résolution numérique 1D avec des éléments finis linéaires et un maillage régulier:

Termes diagonaux
$$A_{ii} = \int_{0}^{1} \epsilon \phi_{i}^{2} dx + \int_{0}^{1} c_{0} \phi_{i} \phi_{i}^{2} dx$$

$$A_{ii} = \int_{0}^{1} \varepsilon \phi_{i}^{,2} dx + \int_{0}^{1} c_{0} \phi_{i} \phi_{i}^{,2} dx = \int_{x_{i-1}}^{x_{i+1}} \frac{\varepsilon}{h^{2}} dx + \frac{c_{0}}{h} \int_{x_{i-1}}^{x_{i}} \phi_{i} dx - \frac{c_{0}}{h} \int_{x_{i}}^{x_{i+1}} \phi_{i} dx$$

$$A_{ii} = \frac{2h\epsilon}{h^2} = \frac{2\epsilon}{h}$$



Résolution numérique 1D avec des éléments finis linéaires et un maillage régulier:

Calcul des $A_{i,i+1}$ et f_i avec $f(x) = f_0 = cste$

$$A_{i,i+1} = \int_{0}^{1} \epsilon \phi_{i}^{,} \phi_{i+1}^{,} dx + \int_{0}^{1} c_{0} \phi_{i} \phi_{i+1}^{,} dx$$

$$A_{i,i+1} = \int_{xi}^{xi+1} \varepsilon \left(\frac{-1}{h} \right) \frac{1}{h} dx + \int_{xi}^{xi+1} c_0 \phi_i \frac{1}{h} dx$$

$$A_{i,i+1} = \varepsilon \left(\frac{-1}{h^2}\right) h + \frac{c_0}{h} \int_{x_i}^{x_{i+1}} \varphi_i dx$$

$$A_{i,i+1} = \frac{-\varepsilon}{h} + \frac{c_0}{h} \frac{h}{2} = \frac{-\varepsilon}{h} + \frac{c_0}{2}$$

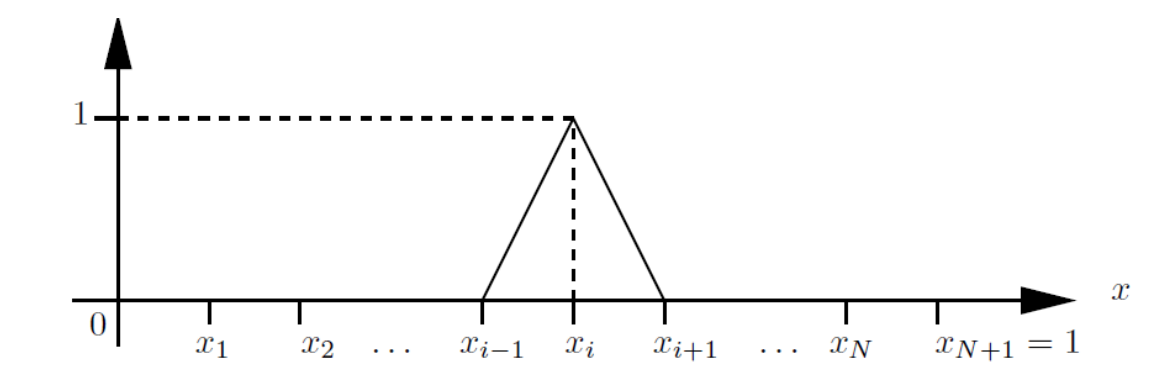
De même, on montre que (exo):

$$A_{i-1,i} = \frac{-\varepsilon}{h} - \frac{c_0}{h} \frac{h}{2} = \frac{-\varepsilon}{h} - \frac{c_0}{2}$$

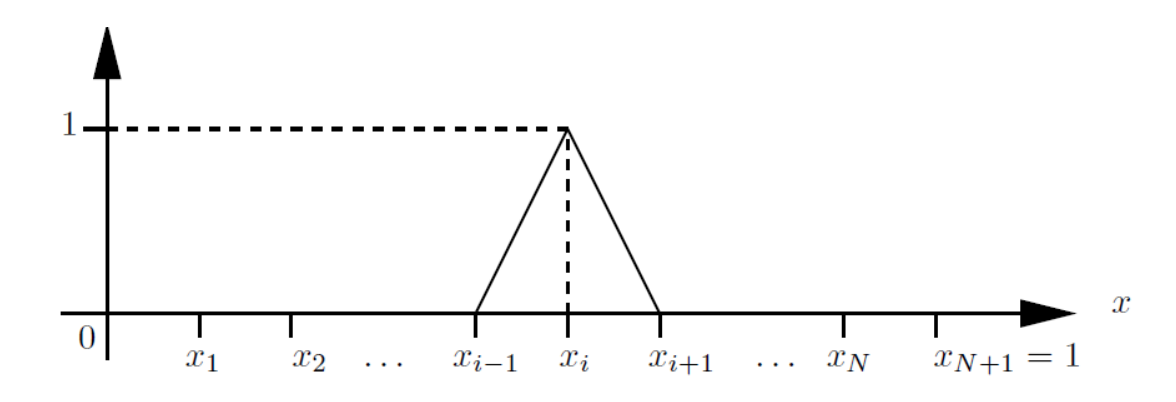
$$f_j = \int_0^1 f(x)\varphi_j(x)dx, \qquad j = 1,\dots, N.$$

$$f_{j} = \int_{0}^{1} f(x)\phi_{j}(x)dx = f_{0} \int_{x_{j-1}}^{x_{j}} \phi_{j}(x)dx + f_{0} \int_{x_{j}}^{x_{j+1}} \phi_{j}(x)dx$$

$$f_{j} = f_{0} \left(\frac{h}{2} + \frac{h}{2} \right) = h f_{0}$$



Exo 6a: montrer que $A_{i-1,i} = -\varepsilon/h - c_0/2$ et $f_j = h f_0$ avec $f(x) = f_0 = cste$ et $c(x) = c_0$ pour le pb de convection-diffusion 1D avec des fonctions linéaires (fonctions chapeaux).



$$A_{ji} = \int_{0}^{1} \varepsilon \phi_{i}^{2} \phi_{j}^{2} dx + \int_{0}^{1} c_{0} \phi_{i} \phi_{j}^{2} dx$$

$$f_j = \int_0^1 f(x)\varphi_j(x)dx, \qquad j = 1,\dots, N.$$

Résolution numérique 1D avec des éléments finis linéaires:

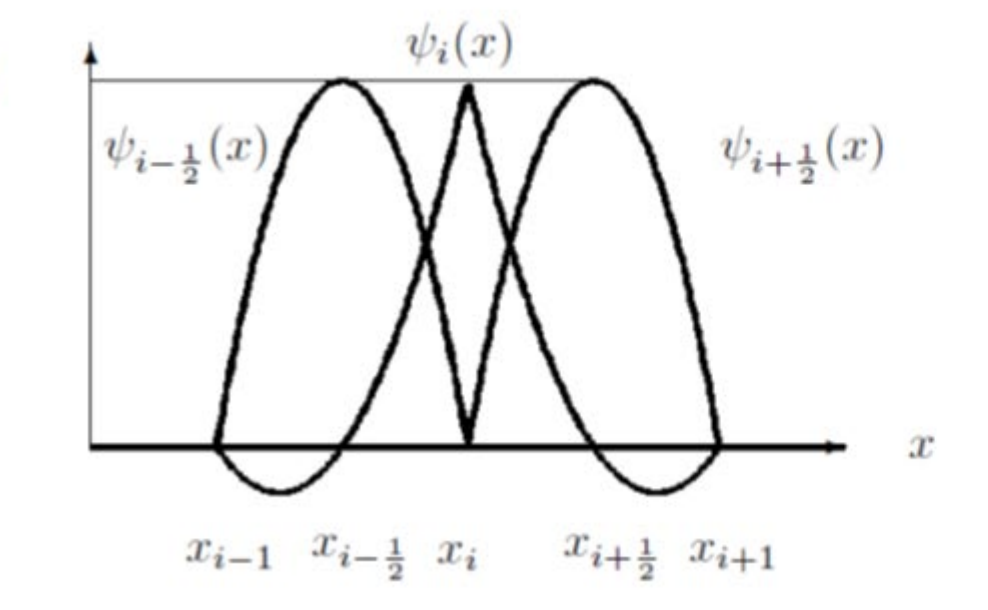
 $A\vec{u} = \vec{f}$ avec A matrice NxN tridiagonale **non symmétrique** à cause du terme de tranport c_0

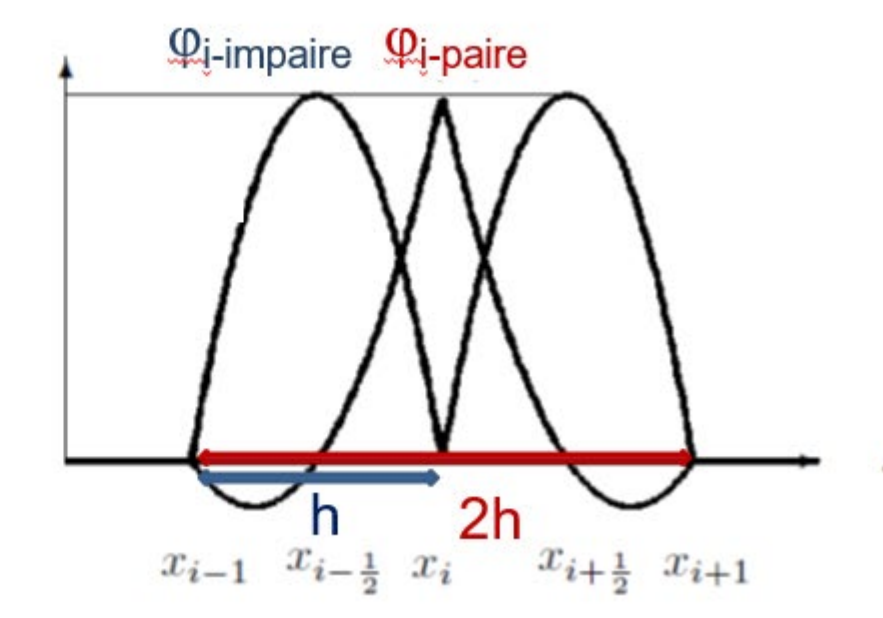
$$A = \begin{bmatrix} \frac{2\varepsilon}{h} & -\frac{\varepsilon}{h} + \frac{c_0}{2} \\ -\frac{\varepsilon}{h} - \frac{c_0}{2} & \ddots & \ddots \\ & \ddots & \ddots & -\frac{\varepsilon}{h} + \frac{c_0}{2} \\ & -\frac{\varepsilon}{h} - \frac{c_0}{2} & \frac{2\varepsilon}{h} \end{bmatrix}$$

Résolution numérique 1D avec des éléments finis quadratiques et un maillage régulier:

Termes diagonaux
$$A_{ii,i \text{ impair}} = \int_{0}^{1} \varepsilon \phi_i^2 dx + \int_{0}^{1} c_0 \phi_i \phi_i^2 dx$$

$$\psi_{i+\frac{1}{2}}(x) = \begin{cases} \frac{(x-x_i)(x-x_{i+1})}{(x_{i+\frac{1}{2}}-x_i)(x_{i+\frac{1}{2}}-x_{i+1})} & \text{si } x_i \le x \le x_{i+1}, \\ 0 & \text{si } x \le x_i \text{ ou } x \ge x_{i+1}. \end{cases}$$





Résolution numérique 1D avec des éléments finis quadratiques et un maillage régulier:

Termes diagonaux
$$A_{ii} = \int_{0}^{1} \epsilon \phi_{i}^{2} dx + \int_{0}^{1} c_{0} \phi_{i} \phi_{i}^{2} dx$$
 pour i impair

$$i \text{ impair: } \phi_{i}(x) = \psi_{i+1/2}(x) = \frac{-4(x-x_{i})(x-x_{i+1})}{hh} \text{ sur } [x_{i},x_{i+1}] \qquad \psi_{i+\frac{1}{2}}(x) = \begin{cases} \frac{(x-x_{i})(x-x_{i+1})}{(x_{i+\frac{1}{2}}-x_{i})(x_{i+\frac{1}{2}}-x_{i+1})} & \text{si } x_{i} \leq x \leq x_{i+1}, \\ 0 & \text{si } x \leq x_{i} \text{ ou } x \geq x_{i+1}. \end{cases}$$

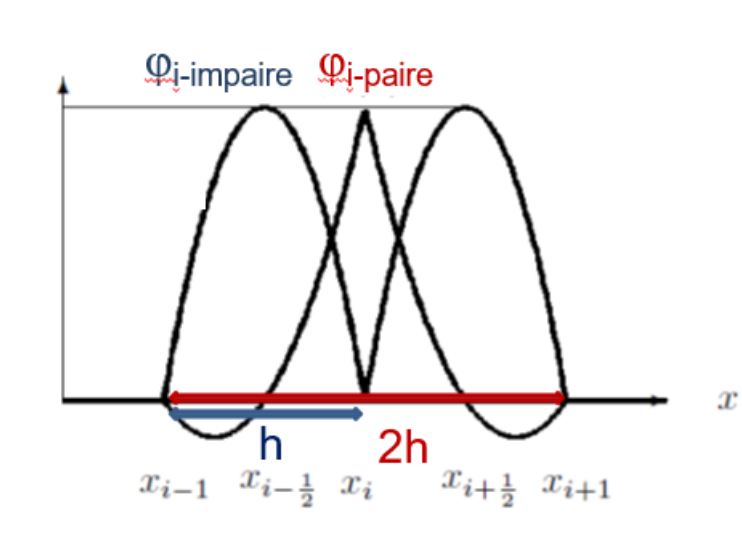
et
$$\varphi'_{i}(x) = \frac{-4(2x-x_{i}-x_{i+1})}{hh} sur[x_{i},x_{i+1}]$$

$$A_{ii \text{ (i impaire)}} = \frac{16\epsilon}{h^4} \int_0^h (u-h+u)^2 du + \frac{16}{h^4} c_0 \int_0^h u(u-h)(2u-h) du \text{ avec } u = x-x_i = x-x_{i+1} + h$$

$$A_{\text{ii (i impaire)}} = \frac{16\epsilon}{h^4} \frac{1}{6} \left[\left(2u - h \right)^3 \right]_0^h + \frac{16}{h^4} c_0 \int_0^h \left(2u^3 - 3hu^2 + h^2u \right) du$$

$$A_{\text{ii (i impaire)}} = \frac{16\epsilon}{h^4} \frac{1}{6} \left[h^3 + h^3 \right] + \frac{16c_0}{h^4} \left[2\frac{u^4}{4} - hu^3 + \frac{h^2u^2}{2} \right]_0^h$$

$$A_{\text{ii (i impaire)}} = \frac{16\epsilon}{h} \frac{1}{3} + 16c_0 \left[\frac{1}{2} - 1 + \frac{1}{2} \right] = \frac{16\epsilon}{3h}$$



Résolution numérique 1D avec des éléments finis quadratiques et un maillage régulier:

Termes
$$A_{i,i+1} = \int_0^1 \varepsilon \varphi_i^* \varphi_{i+1}^* dx + \int_0^1 c_0 \varphi_i \varphi_{i+1}^* dx$$
 pour i pair

$$sur[x_i,x_{i+1}]$$

$$\phi_i(x) = \frac{2(x-x_{i+1})(x-x_{i+1/2})}{hh} = \frac{2(u-h)(u-h/2)}{hh}$$
 avec $u = x - x_i$

$$\varphi'_{i}(x) = \frac{2(u-h/2)+2(u-h)}{hh} = \frac{4u-3h}{hh}$$

$$\phi_{i+1}(x) = \psi_{i+1/2}(x) = \frac{-4(x-x_i)(x-x_{i+1})}{hh} = \frac{-4u(u-h)}{hh}$$

et
$$\varphi'_{i+1}(x) = \frac{-4(u-h)-4u}{hh} = \frac{-8u+4h}{hh}$$

$$\psi_{i+\frac{1}{2}}(x) = \begin{cases} \frac{(x-x_i)(x-x_{i+1})}{(x_{i+\frac{1}{2}}-x_i)(x_{i+\frac{1}{2}}-x_{i+1})} & \text{si } x_i \le x \le x_{i+1}, \\ 0 & \text{si } x \le x_i \text{ ou } x \ge x_{i+1} \end{cases}$$

$$\text{Termes } \mathbf{A}_{\mathbf{i},\mathbf{i}+1} = \int\limits_{0}^{1} \epsilon \phi_{\mathbf{i}}^{\mathbf{i}} \phi_{\mathbf{i}+1}^{\mathbf{i}} d\mathbf{x} + \int\limits_{0}^{1} \mathbf{c}_{0} \phi_{\mathbf{i}}^{\mathbf{i}} \phi_{\mathbf{i}+1}^{\mathbf{i}} d\mathbf{x} \quad \text{pour i pair}$$

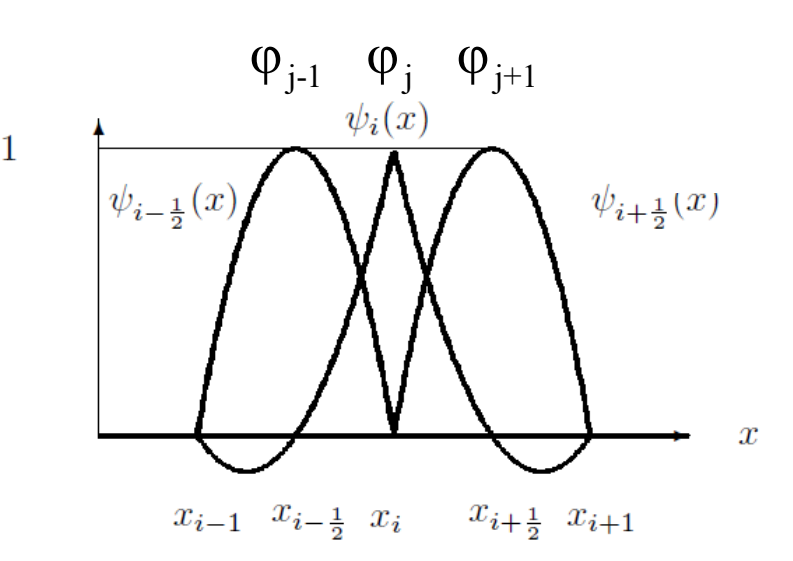
$$\psi_{i+\frac{1}{2}}(x) = \begin{cases} \frac{(x-x_{i})(x-x_{i+1})}{(x_{i+\frac{1}{2}}-x_{i})(x_{i+\frac{1}{2}}-x_{i+1})} & \text{si } x_{i} \leq x \leq x_{i+1}, \\ 0 & \text{si } x \leq x_{i} \text{ ou } x \geq x_{i+1}. \end{cases}$$

$$\text{i pair: le support commun entre } \phi_{\mathbf{i}} \text{ et } \phi_{\mathbf{i}+1} \text{ est } [\mathbf{x}_{\mathbf{i}}, \mathbf{x}_{\mathbf{i}+1}]$$

$$\sup [\mathbf{x}_{\mathbf{i}}, \mathbf{x}_{\mathbf{i}+1}] :$$

$$\sup [\mathbf{x}_{\mathbf{i}}, \mathbf{x}_{\mathbf{i}+1}] :$$

$$\mathbf{v}_{i}(x) = \begin{cases} \frac{(x-x_{i})(x-x_{i+\frac{1}{2}})}{(x_{i}-x_{i-1})(x_{i}-x_{i+\frac{1}{2}})} & \text{si } x_{i} \leq x \leq x_{i}, \\ \frac{(x-x_{i+1})(x-x_{i+\frac{1}{2}})}{(x_{i}-x_{i+1})(x_{i}-x_{i+\frac{1}{2}})} & \text{si } x_{i} \leq x \leq x_{i+1}, \\ 0 & \text{si } x \leq x_{i-1} \text{ ou } x \geq x_{i+1}; \end{cases}$$



Résolution numérique 1D avec des éléments finis quadratiques et un maillage régulier:

Termes
$$A_{i,i+1} = \int_{0}^{1} \varepsilon \phi_{i}^{\gamma} \phi_{i+1}^{\gamma} dx + \int_{0}^{1} c_{0} \phi_{i} \phi_{i+1}^{\gamma} dx$$
 pour i pair

sur $[x_i,x_{i+1}]$ avec $u = x - x_i$ variant de 0 à h:

$$\begin{split} \phi_{i}(x) &= \frac{2(x - x_{i+1})(x - x_{i+1/2})}{hh} = \frac{2(u - h)(u - h/2)}{hh} \\ \phi'_{i}(x) &= \frac{2(u - h/2) + 2(u - h)}{hh} = \frac{4u - 3h}{hh} \\ \phi_{i+1}(x) &= \psi_{i+1/2}(x) = \frac{-4(x - x_{i})(x - x_{i+1})}{hh} = \frac{-4u(u - h)}{hh} \\ \text{et } \phi'_{i+1}(x) &= \frac{-4(u - h) - 4u}{hh} = \frac{-8u + 4h}{hh} \end{split}$$

$$\begin{split} A_{i,i+1} &= \int_{0}^{1} \epsilon \phi_{i}^{*} \phi_{i+1}^{*} dx + \int_{0}^{1} c_{0} \phi_{i} \phi_{i+1}^{*} dx \text{ pour i pair} \\ A_{i,i+1} &= \frac{\epsilon}{h^{4}} \int_{0}^{h} \left(4u - 3h \right) \left(-8u + 4h \right) du + \frac{c_{0}}{h^{4}} \int_{0}^{h} 2(u - h)(u - h/2) 4\left(h - 2u \right) du \\ A_{i,i+1} &= \frac{4\epsilon}{h^{4}} \int_{0}^{h} \left(4u - 3h \right) \left(h - 2u \right) du + \frac{8c_{0}}{h^{4}} \int_{0}^{h} (u - h)(u - h/2) \left(h - 2u \right) du \\ A_{i,i+1} &= \frac{4\epsilon}{h^{4}} \int_{0}^{h} \left(-8u^{2} + 10uh - 3h^{2} \right) du + \frac{16c_{0}}{h^{4}} \int_{0}^{h} \left(-4u^{3} + 4hu^{2} + h^{2}u - h^{3} \right) du \\ A_{i,i+1} &= \frac{4\epsilon}{h^{4}} \left[\frac{-8u^{3}}{3} + 5u^{2}h - 3uh^{2} \right]_{o}^{h} + \frac{16c_{0}}{h^{4}} \left[-u^{4} + \frac{4hu^{3}}{3} + \frac{h^{2}u^{2}}{2} - uh^{3} \right]_{o}^{h} \\ A_{i,i+1} &= \frac{4\epsilon}{h} \left[\frac{-8}{3} + 2 \right] + 8c_{0} \left[-1 + \frac{4}{3} + \frac{1}{2} - 1 \right] \\ A_{i,i+1} &= -\frac{8\epsilon}{2h} + 8c_{0} \left[\frac{-1}{6} \right] = -\frac{8\epsilon}{2h} - \frac{4}{2}c_{0} \end{split}$$

Résolution numérique 2D d'un pb de convection-diffusion transitoire:

Soit Ω un domaine polygonal dans le plan Ox_1x_2 , de frontière $\partial\Omega$ et soit $\overline{\Omega} = \Omega \cup \partial\Omega$. Nous nous donnons une fonction $f:(x,t) \in \overline{\Omega} \times \mathbb{R}^+ \to f(x,t) \in \mathbb{R}$, une fonction vectorielle $\overline{c}:(x,t) \in \overline{\Omega} \times \mathbb{R}^+ \to \overline{c}(x,t) \in \mathbb{R}^2$, un nombre positif ε et une fonction $w: x \in \overline{\Omega} \to w(x) \in \mathbb{R}$. Dès lors, nous posons le problème de chercher une fonction $u:(x,t) \in \overline{\Omega} \times \mathbb{R}^+ \to u(x,t) \in \mathbb{R}$ telle que

$$\begin{split} \frac{\partial u}{\partial t}(x,t) - \varepsilon \Delta u(x,t) + \vec{c}(x,t) \cdot \overrightarrow{\text{grad}} u(x,t) \\ &= f(x,t) & \forall x \in \Omega, \quad \forall t > 0, \\ u(x,t) = 0 & \forall x \in \partial \Omega \quad \forall t > 0, \\ u(x,0) = w(x) & \forall x \in \Omega, \end{split} \tag{14.24}$$

c(x,y,t) = v(x,y,t) est le champ connu de vitesse

Ex: pb de la chaleur dans un fluide en mouvement: convection et diffusion

$$\frac{\partial T}{\partial t} + \vec{V}(x,y,t) \cdot \vec{\nabla} T - \frac{k}{\rho C_p} \Delta T = \frac{1}{\rho C_p} \dot{Q}_T(x,y,t)$$

Résolution numérique 2D d'un pb de convection-diffusion transitoire:

Triangulation du carré unité et définition de 16 fonctions chapeau localise sur les 16 points intérieurs du carré (points Pi et h = 1/5)

Une discrétisation standard (sect. 12.3) en espace de (14.24) par la méthode des éléments finis consiste à décomposer la solution approchée u_h dans la base

$$\varphi_1,\ldots,\varphi_N$$

$$u_h(x,t) = u_i(t)\phi_i(x) = \sum_{i=1}^{N=16} u_i(t)\phi_i(x)$$

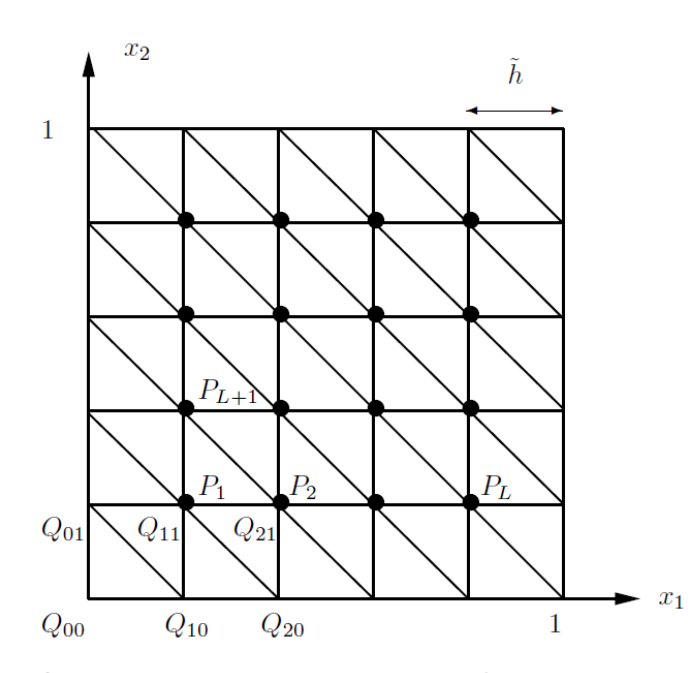


Fig. 11.4 Le carré unité et sa triangulation pour L=4.

Cela revient à chercher $u_1(t), u_2(t), ...u_N(t)$ tels que pour tout j=1 à N

$$\sum_{i=1}^{N} \dot{u}_{i}(t) \iint_{\Omega} \varphi_{i}(x) \varphi_{j}(x) dx + \varepsilon \sum_{i=1}^{N} u_{i}(t) \iint_{\Omega} \overrightarrow{\operatorname{grad}} \varphi_{i}(x) \cdot \overrightarrow{\operatorname{grad}} \varphi_{j}(x) dx$$

$$+ \sum_{i=1}^{N} u_{i}(t) \iint_{\Omega} \left(\overrightarrow{c}(x, t) \cdot \overrightarrow{\operatorname{grad}} \varphi_{i}(x) \right) \varphi_{j}(x) dx = \iint_{\Omega} f(x, t) \varphi_{j}(x) dx,$$

On obtient la discrétisation spatiale:

$$\begin{split} M \vec{u} &+ A \vec{u} = \vec{f} \ \text{avec} \ M = \int_{\Omega} \phi_i \phi_j dV \\ \text{et} \ A_{ji} &= \int_{\Omega} \epsilon \nabla \phi_i \nabla \phi_j dV + \int_{\Omega} \left(\vec{c}(x,t) . \vec{\nabla} \phi_i \right) \! \phi_j dV \end{split}$$

Carré unité avec L = 4

Matrice de masse M, $M_{ij} = \int_{\Omega} \varphi_i \varphi_j dV$ est nona-diagonale.

Sa demi-largeur de bande est 4.

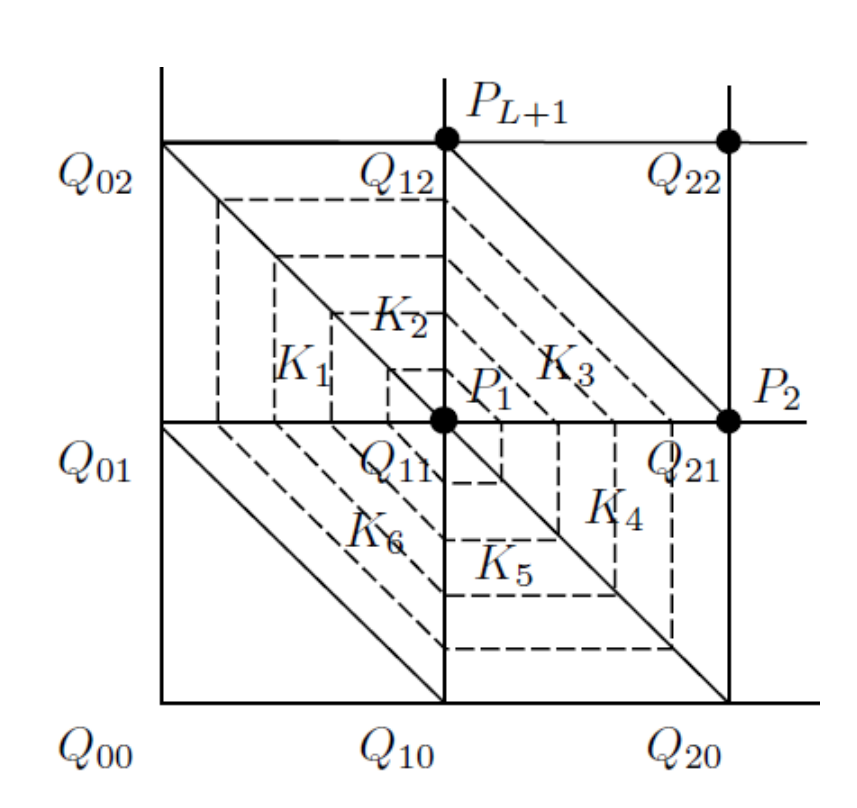
$$M = \frac{\tilde{h}^2}{12} \begin{vmatrix} \tilde{B} & \tilde{C} \\ \tilde{C}^T & \tilde{B} & \tilde{C} \\ & \tilde{C}^T & \tilde{B} & \tilde{C} \\ & \tilde{C}^T & \tilde{B} & \tilde{C} \end{vmatrix},$$

où nous avons noté

Exo 6b: dans le pb de convection-diffusion 2D, montrer que les termes diagonaux Aii valent 4ε si la vitesse c(x) est donnée par:

$$\vec{c}(x,t) = c_o(t)\vec{u}_y$$

$$A_{ji} = \int_{\Omega} \varepsilon \nabla \phi_{i} \nabla \phi_{j} dV + \int_{\Omega} (\vec{c}(x,t).\vec{\nabla} \phi_{i}) \phi_{j} dV$$



Bonnes relâches de Toussaint

Mercredi 30 Octobre: propé1 de 15h15 à 17h (aucun document), présence obligatoire (examen)
NB: 1/3 temps supplémentaire pour 4 étudiants

Mercredi 6 Novembre : correction du propé1